

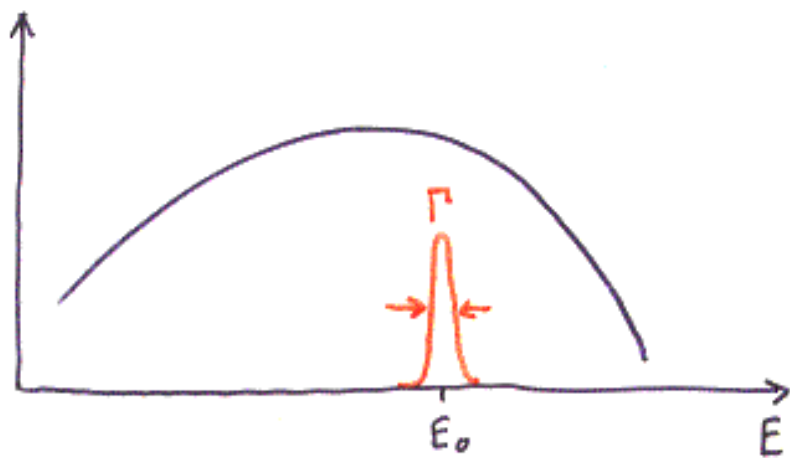
## A szinkrotronsugárzás tulajdonságai

- intenzív folytonos spektrum az infravörös-röntgen tartományban
- kis nyalábdivergencia (a gyűrű sikjára merőlegesen  $0.1 - 1 \text{ mrad}$ )
- nagy fényerő-sürűség (brilliance)
- Lineárisan poláros sugárzás a gyűrű sikjában; elliptikus polarizáció alattá és felette
- pulzált sugárzás:
  - impulzushossz  $\sim 10^{-10} \text{ s}$
  - periódusidő  $\sim 10^{-6} \text{ s}$  (single bunch mode)  
 $\sim 10^{-8} - 10^{-7} \text{ s}$  (multibunch mode)

Teljes sugárzási teljesítmény:  $P \sim E^4$

Pl.: DORIS III. 4.5 GeV 100 mA :  $P \approx 0.5 \text{ MW}$

## A magrezonancia - szörás kiszürésének kísérleti problémái



$$\frac{\Gamma}{E_0} \approx 10^{-12}$$

Hogyan lehet a nukleárisan szort fotonokat elválasztani a

- direkt nyalából és az elektronokon szort fotonuktól?
- monokromatizálás egykristály-monokromátorokkal
- időbeli szétválasztás:
  - direkt nyaláb
  - elektronikus szörás
  - nukleáris szörás

} prompt  
kecsleltetett ( $\tau \approx 10^{-7}$  s)
- elektronikusan tiltott reflexiók használata:
  - AF szuperszerkezet
  - izotóp-szuperszerkezet

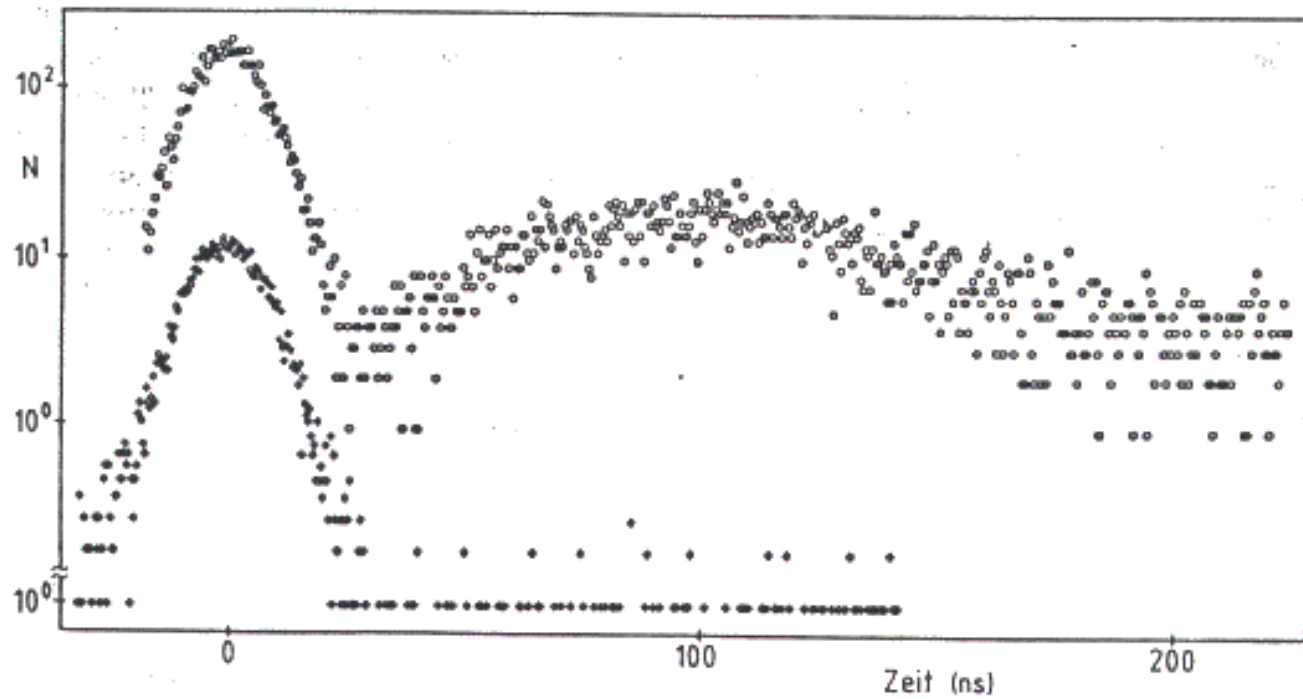


Abb. 1: Zeitlich verzögter Zerfall des nuklearen-Exzitons. Die verzögerten Ereignisse erreichen ein Maximum bei ca. 100 ns. Darin dokumentiert sich der kollektive Charakter des Zerfalls. Für zwei aufeinanderfolgende Streuungen an einzelnen Kernen erwartet man das Maximum bei 280 ns. Zum Vergleich ist eine Messung außerhalb der Resonanz mit angegeben (untere Kurve).

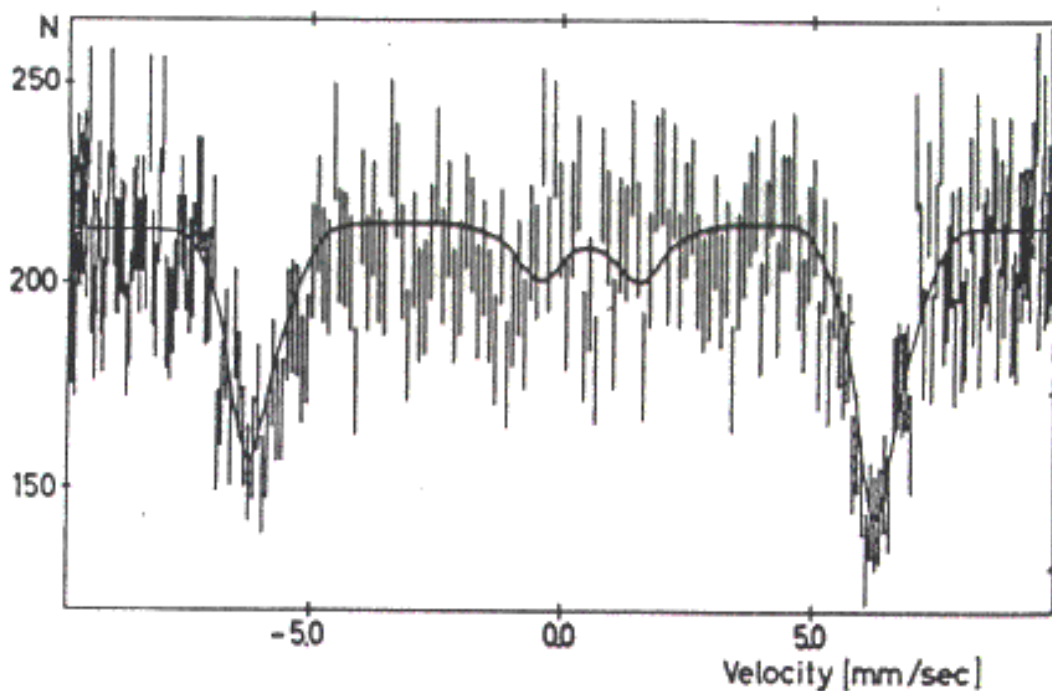
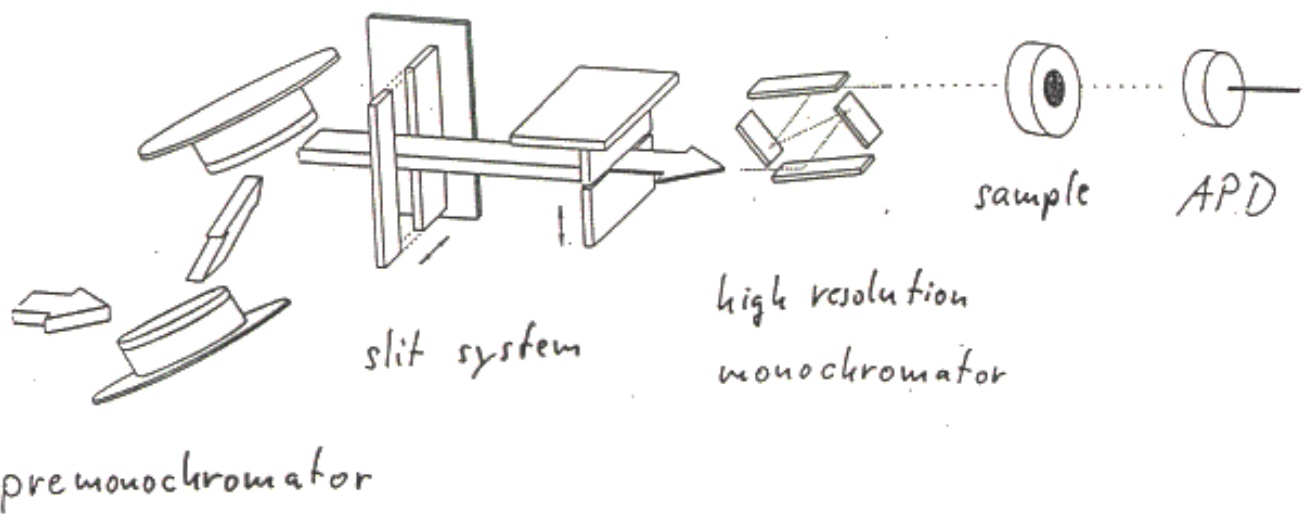


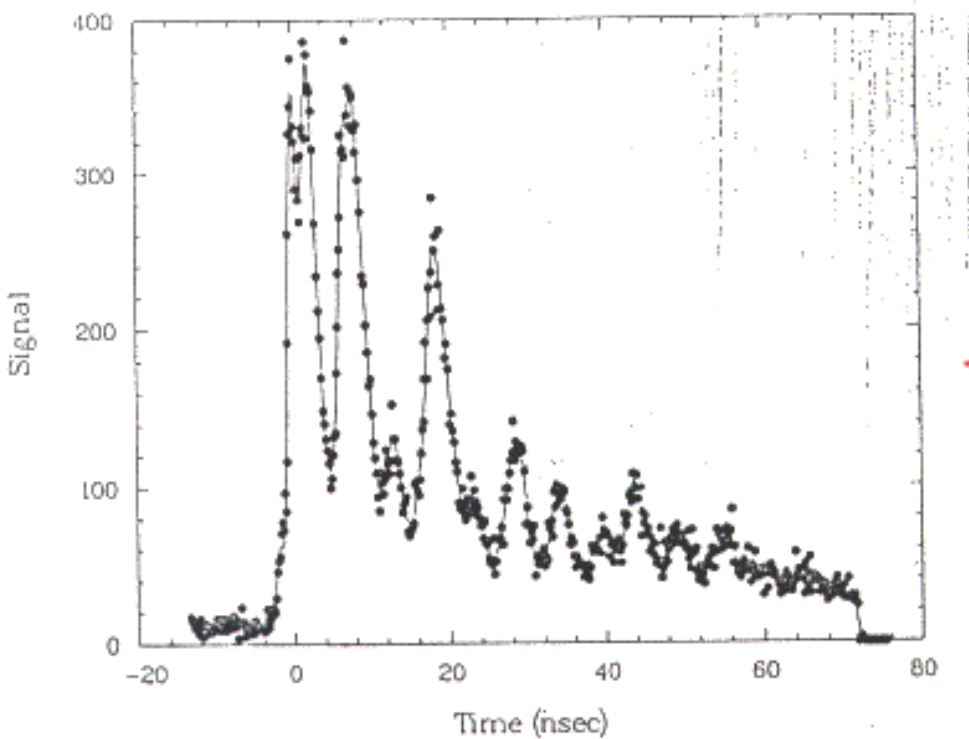
Fig. 4 Mössbauer spectrum of the monochromatized beam analyzed with a stainless-steel absorber. The solid line is the predicted result. Only the normalization constant and the effect are adjusted.

YIG (ittrium-vas-granát) (200)

Gerdau et al., 1985

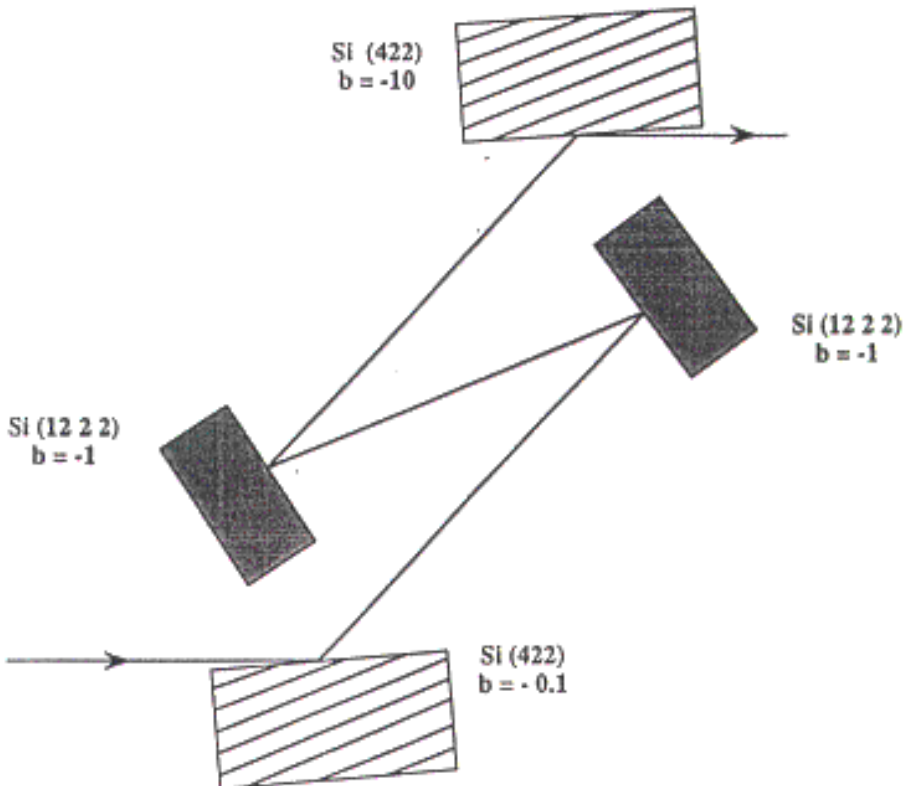


$APD = \text{Avalanche Photo Diode}$



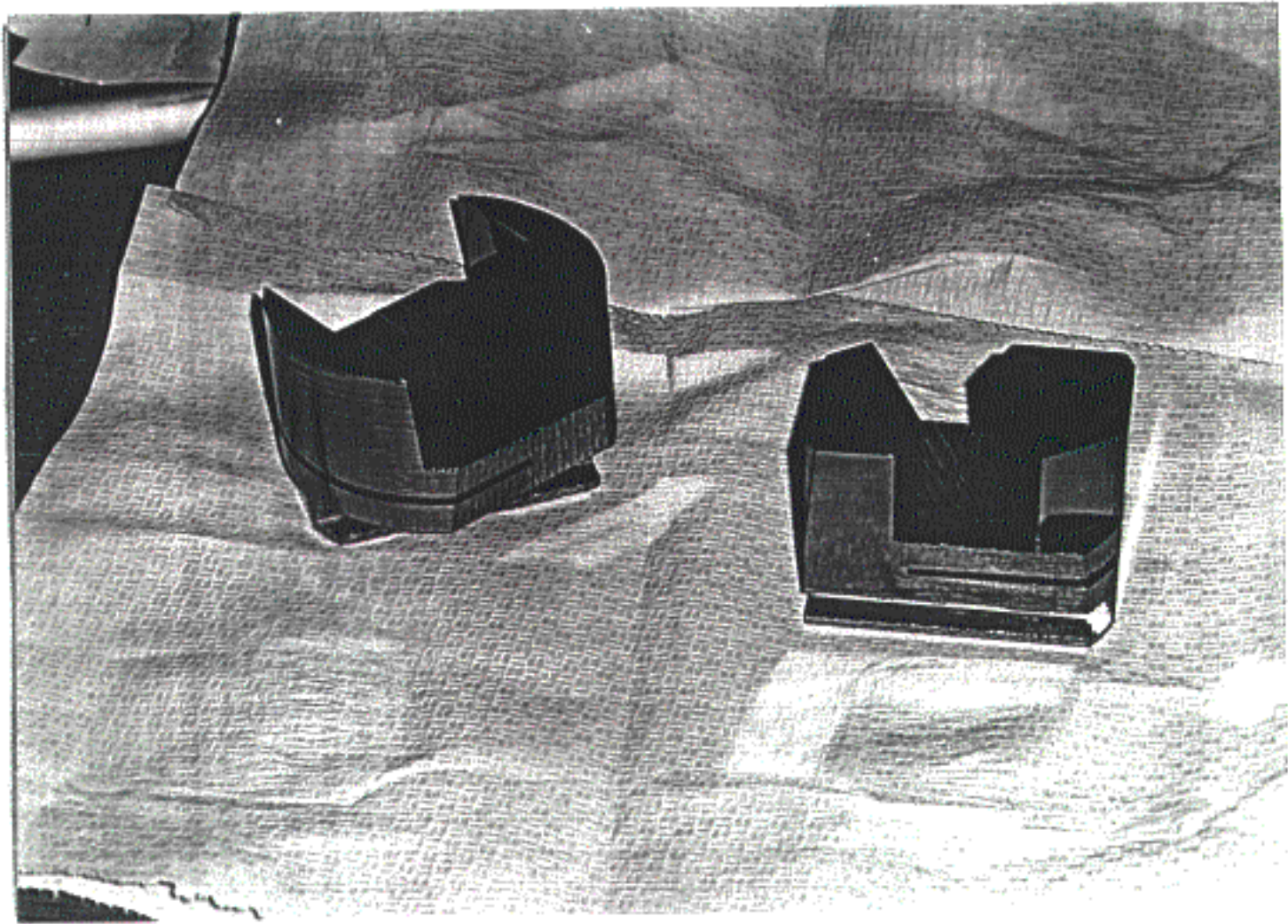
Faigel et al.  
1988

FIG. 1. The observed time evolution of the "pure-nuclear" (777) reflection from  $^{57}\text{Fe}$ -enriched hematite. The continuous curve is derived from the data by Fourier smoothing.

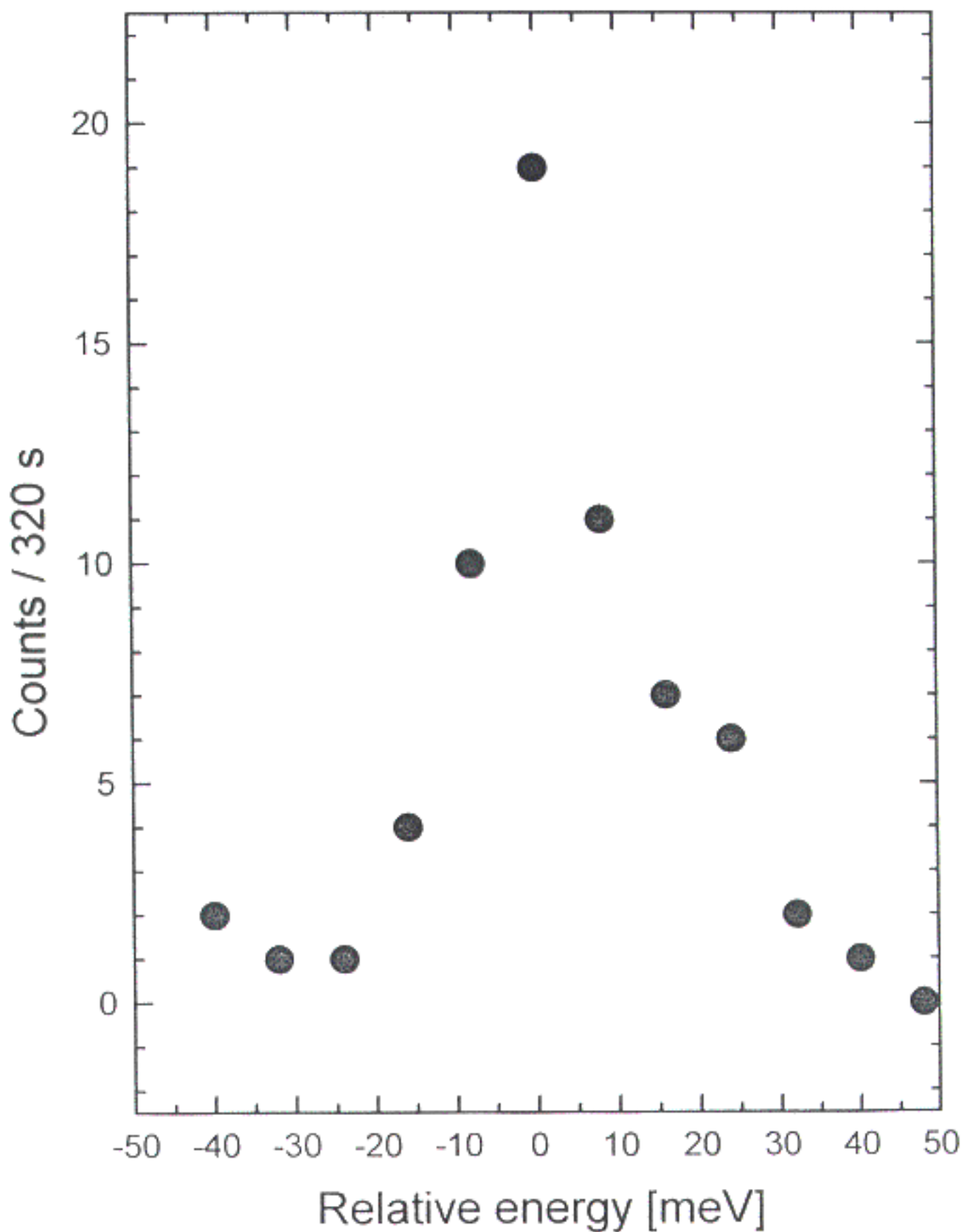


Four crystal arrangement for high-energy resolution and high "throughput"

Design for 14.4 keV with two Si (422) crystals (entrance and exit) which are asymmetric-cut crystals in order to gain the angular acceptance.  
The inner crystals, two Si (12 2 2) with a Bragg angle of  $77.5^\circ$ , are in a dispersive setting with the Si (422) to get a good energy resolution.



## Europium resonance



## Másodrendű Doppler-effektus

Magasabb hömörseklet  $\Rightarrow$  gyorsabb hömozgás

Mozgó részecskék lassabban járnak.

$$\omega = \omega_0 \sqrt{1 - \frac{U^2}{c^2}} + \underbrace{k_U}_{\text{relativisztikus idődilatáció}} = \omega_0 + \underbrace{k_U}_{\text{klasszikus Doppler-effektus}} - \frac{\omega_0}{2} \frac{U^2}{c^2} + \dots$$

Időátlag:

$$\bar{\omega} = \omega_0 \left( 1 - \frac{U^2}{2c^2} \right)$$

Energiaeltolódás:

$$\delta E_D = \hbar (\bar{\omega} - \omega_0) = - \frac{U^2}{2c^2} \hbar \omega_0 = - \frac{\hbar \omega_0}{Mc^2} \frac{M U^2}{2}$$

Moláris belső energia:  $U = 2 N_A \frac{M \bar{v}^2}{2}$

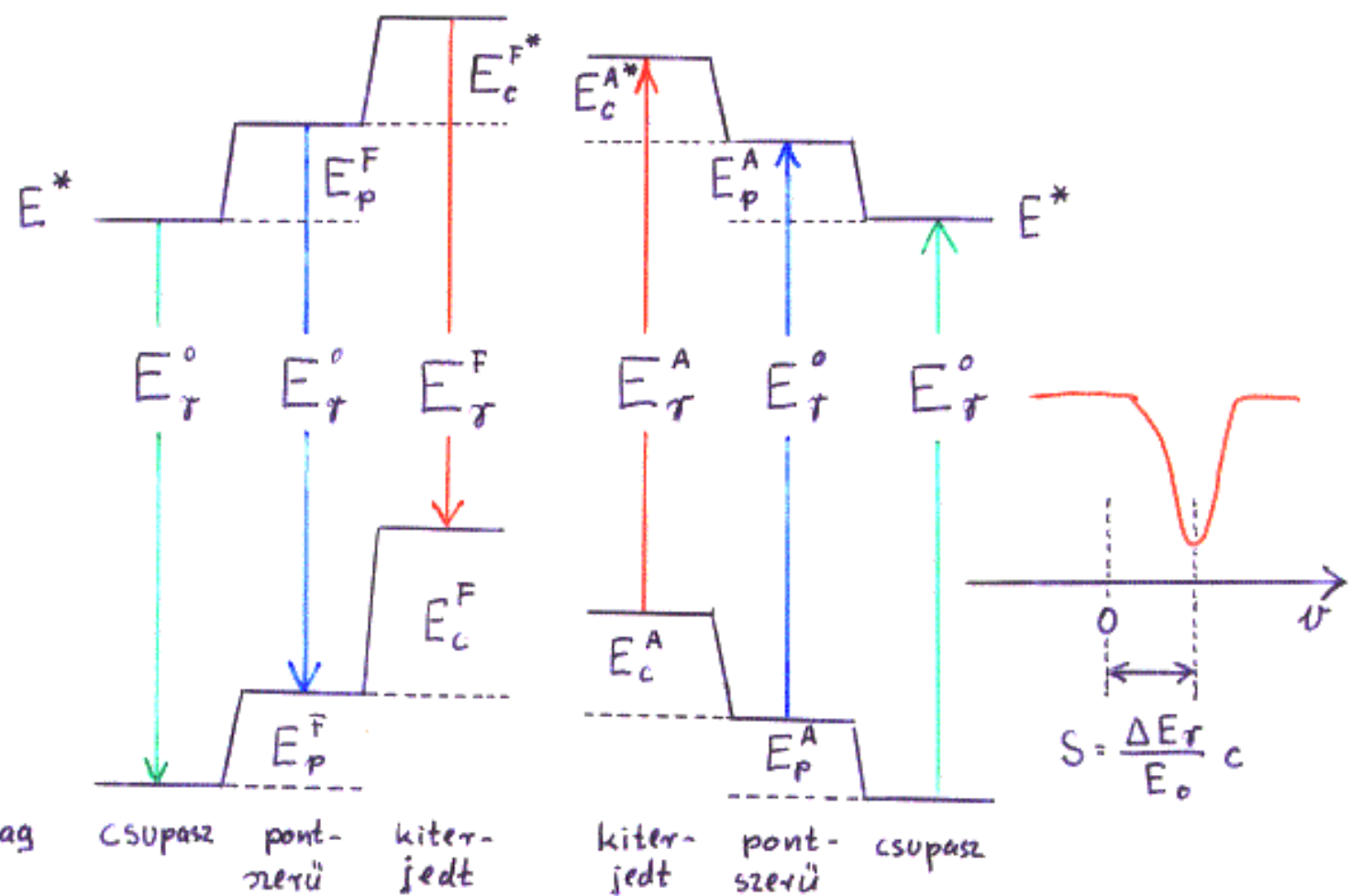
$$\delta E_D = - \frac{U_T}{2 N_A M c^2} E_T$$

$$\frac{d(\delta E_D)}{dT} = - \frac{E}{2 N_A M c^2} \frac{dU}{dT} = - \frac{E_T}{2 N_A M c^2} C_{\text{mol}}$$

$$- \frac{d(\delta E_D)}{dT} \frac{1}{E_T} = \frac{1}{2 N_A M c^2} C_{\text{mol}}$$

↓                    ↓  
egy adott izotópra (és átmenetre) állandók

## Izomer eltolódás



forrás

abszorbens

$$\boxed{\Delta E_r = E_r^A - E_r^F = (E_c^{A*} - E_c^A) - (E_c^{F*} - E_c^F) =}$$

$$= \underbrace{[(E_c^{A*} + E_p^A) - (E_c^A + E_p^A)]}_{E_o^A} - \underbrace{[(E_c^{F*} + E_p^F) - (E_c^F + E_p^F)]}_{E_o^F} =$$

$$= \frac{1}{4\pi\epsilon_0} \iint [S_n^{A*}(\tau_n) S_e^{A*}(\tau_e) - S_n^A(\tau_n) S_e^A(\tau_e) -$$

$$- S_n^{F*}(\tau_n) S_e^{F*}(\tau_e) + S_n^F(\tau_n) S_e^F(\tau_e)] \frac{1}{\tau_s} d^3\tau_n d^3\tau_e$$

## Polarizációs effektusok

- I.  $g_e^{A^*}(\underline{r}_e) \neq g_e^A(\underline{r}_e); \quad g_e^{F^*}(\underline{r}_e) \neq g_e^F(\underline{r}_e)$
- II.  $g_n^A(\underline{r}_n) \neq g_n^F(\underline{r}_n); \quad g_n^{A^*}(\underline{r}_n) \neq g_n^{F^*}(\underline{r}_n)$

kis effektusok ( $\lesssim 1\%$ )

## Polarizációs effektusok nélkül:

$$g_e^{A^*}(\underline{r}_e) = g_e^A(\underline{r}_e) \quad ; \quad g_e^{F^*}(\underline{r}_e) = g_e^F(\underline{r}_e)$$

$$g_n^A(\underline{r}_n) = g_n^F(\underline{r}_n) = g_n(\underline{r}_n) \quad ; \quad g_n^{A^*}(\underline{r}_n) = g_n^{F^*}(\underline{r}_n) = g_n^*(\underline{r}_n)$$

$$\boxed{\Delta E_T = \frac{1}{4\pi\epsilon_0} \iint [g_n^*(\underline{r}_n) g_e^A(\underline{r}_e) - g_n(\underline{r}_n) g_e^A(\underline{r}_e) - g_n^*(\underline{r}_n) g_e^F(\underline{r}_e) + g_n(\underline{r}_n) g_e^F(\underline{r}_e)] \frac{1}{r_s} d^3 r_n d^3 r_e =}$$

$$\Delta g_e(\underline{r}_e) = g_e^A(\underline{r}_e) - g_e^F(\underline{r}_e)$$

$$\Delta g_n(\underline{r}_n) = g_n^*(\underline{r}_n) - g_n(\underline{r}_n)$$

$$= \frac{1}{4\pi\epsilon_0} \iint \frac{\Delta g_e(\underline{r}_e) \Delta g_n(\underline{r}_n)}{r_s} d^3 r_n d^3 r_e =$$

$$\Delta g_e'(\underline{r}_e) = g_e^{A'}(\underline{r}_e) - g_e^{F'}(\underline{r}_e) \quad (\text{gömbi átlagolás})$$

$$= \frac{1}{\epsilon_0} \int \Delta g_n(\underline{r}_n) \left[ \int_0^{r_n} \Delta g_e'(\underline{r}_e) \left( \frac{1}{r_n} - \frac{1}{r_e} \right) r_e^2 dr_e \right] d^3 r_n$$

Nem-relativisztikus esetben ( $Z \ll 1/d$ ):

$$\Delta g_e^i(\tau_e) = \Delta g_e(\tau_e) = \Delta g_e(0) = \Delta |\Psi(0)|^2 e$$

$$\int_0^{r_n} \left( \frac{1}{\tau_n} - \frac{1}{\tau_e} \right) \tau_e^2 d\tau_e = -\frac{1}{6} \tau_n^2$$

$$\boxed{\Delta E_r = \frac{e}{6\varepsilon_0} \Delta |\Psi(0)|^2 \underbrace{\int \Delta g_n(\tau_n) \tau_n^2 d^3\tau_n}_{\Delta \langle \tau_n^2 \rangle} =}$$
$$= \frac{Z e^2}{6\varepsilon_0} \Delta |\Psi(0)|^2 \Delta \langle \tau_n^2 \rangle$$

- Feltételek:
- nincsenek polarizációs hatások
  - jogos a nem-relativisztikus közelítés

- Relativisztikusan:
- nemcsak az  $s$ -, hanem a  $p_{1/2}$ -elektronok is előfordulnak a mag belsőjében
  - $|\Psi_s(\tau_e)|^2$  a magon belül változik.

Pl.: R sugarú, homogén töltésseloszlású mag esetén:

$$g_e(\tau_e) = g_e(0) \left[ 1 - \frac{\alpha^2 Z^2}{2} \left( \frac{r}{R} \right)^2 + \frac{\alpha^2 Z^2}{10} \left( 1 + \frac{9\alpha^2 Z^2}{8} \right) \left( \frac{r}{R} \right)^4 + \dots \right]$$

Az izomér eltolódás korrekciós tényezője:  $S'(z)$ :

$$\Delta E_r = \frac{Z e^2}{6\varepsilon_0} S'(z) \Delta |\Psi(0)|^2 \Delta \langle \tau_n^2 \rangle$$

$\uparrow$   
nem-relativisztikus hullámfüggvény

(a magasabb nyomatékok elhagyásával)

Magasabb nyomatékokkal:

$$\Delta E_g = \frac{e}{6\varepsilon_0} \Delta g_e^{\text{rel}}(0) \left[ \Delta \langle r_n^2 \rangle + \beta_2(z) \Delta \langle r_n^4 \rangle + \beta_4(z) \Delta \langle r_n^6 \rangle + \dots \right]$$

### Izomér eltolódás és kémiai vegyérték

Egy adott izotóp esetén:

$$\Delta E_g \sim \Delta |\Psi(0)|^2$$

↑  
fő járulék: s-elektronok

1. példa:  $^{119}\text{Sn}$   $\Delta \langle r_n^2 \rangle > 0$

A vegyérték-elektronok az s-elektronok.

szemleges Sn: ...  $(4d)^{10}$   $(5s)^2$   $(5p)^2$

ionos  $\text{Sn}^{2+}$ : ...  $(4d)^{10}$   $(5s)^2$

ionos  $\text{Sn}^{4+}$ : ...  $(4d)^{10}$

$$S(\text{mm/s}) = -0.38 + \underbrace{3.10 n_s - 0.20 n_s^2}_{\text{az s-elektronok követlen járuléka}} - 0.17 n_s n_p$$

↑  
a p-elektronok leárványékoló hatása

2. példa:  $^{57}\text{Fe}$   $\Delta \langle r_n^2 \rangle < 0$

Az s-elektronok nem vegyérték-elektronok.

szemleges Fe: ...  $(3d)^7$   $(4s)^1$

ionos  $\text{Fe}^{2+}$ : ...  $(3d)^6$

ionos  $\text{Fe}^{3+}$ : ...  $(3d)^5$

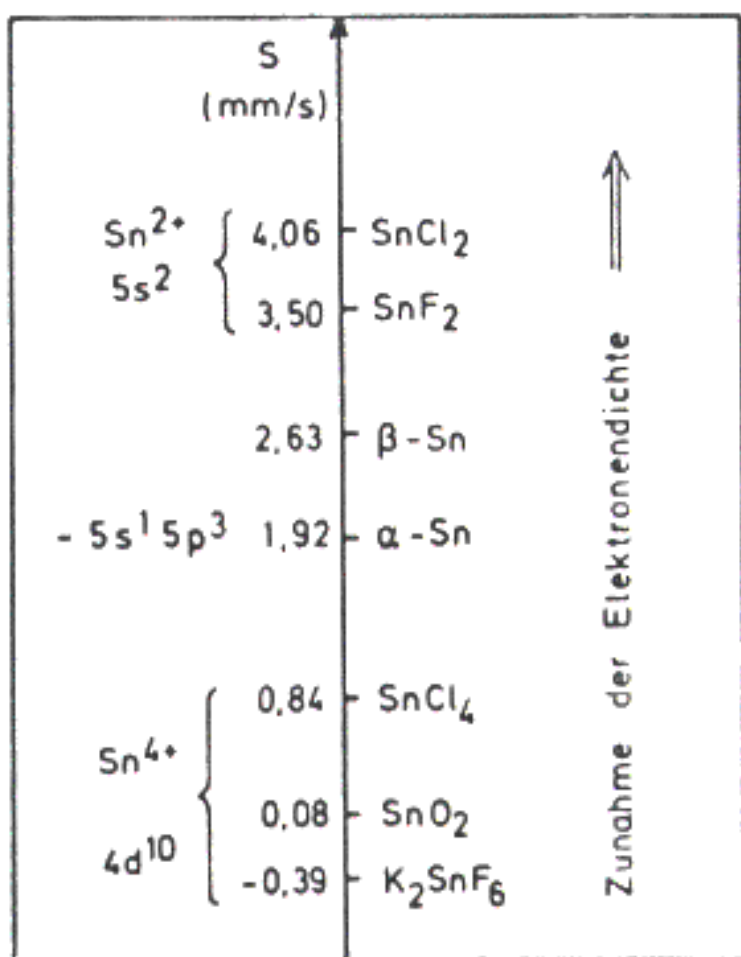
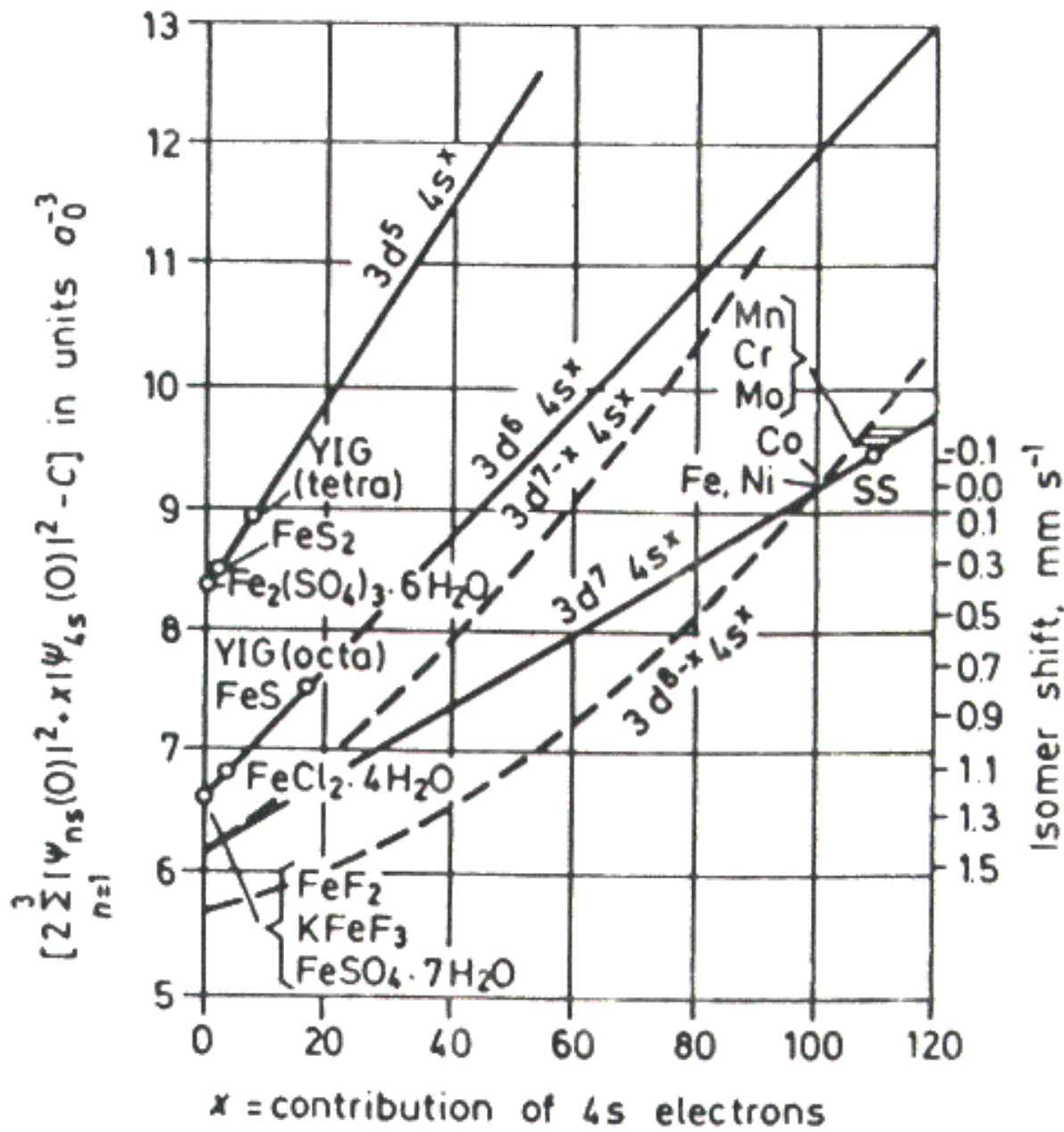


Abb. 4.16:

Isomerieverschiebungen für  $\alpha\text{-Sn}$ ,  $\beta\text{-Sn}$  und einigen Zinnverbindungen. Links ist der Ionisationszustand und die Elektronenkonfiguration angegeben. Quelle: BaSnO<sub>3</sub>. Nach (FLI 78)

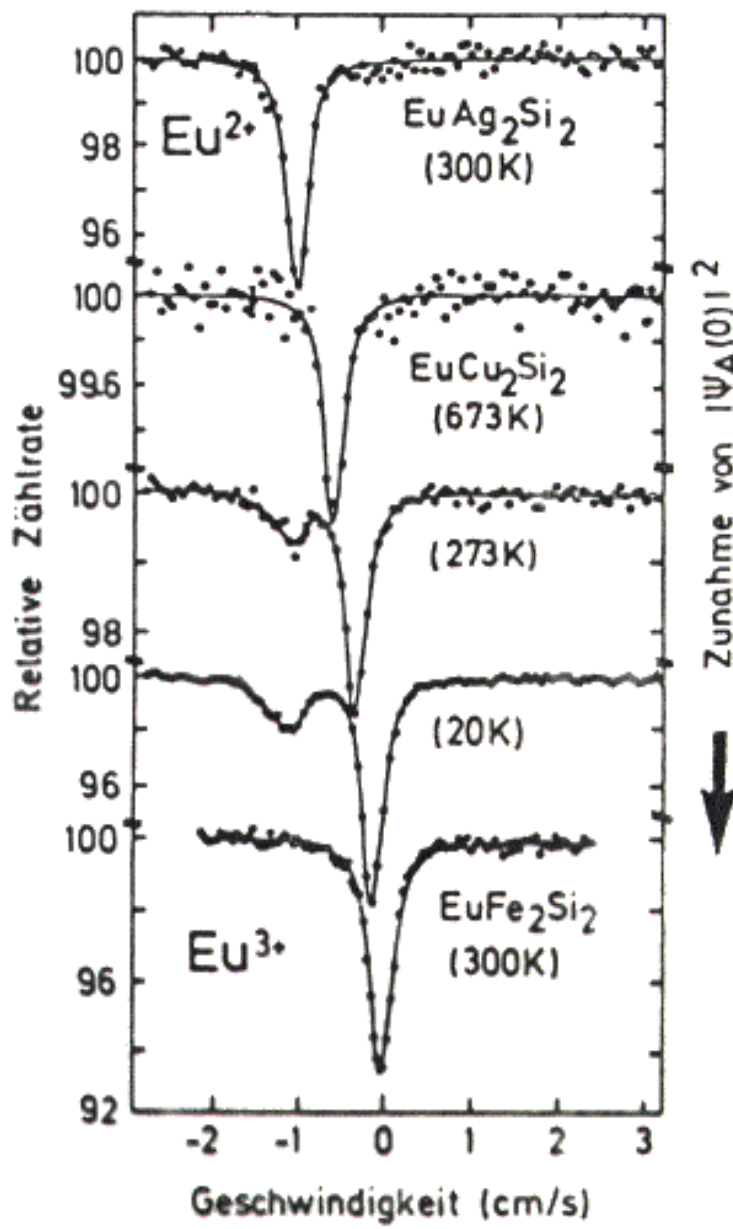
A belső s-elektronokat a 3d-elektronok leárrnyékolják.



*Fig. 1.6.* Calibration curves of  $^{57}\text{Fe}$  isomer shifts [17]

Die inneren s-Elektronen werden durch die 3d-Elektronen abgeschirmt.

3. Beispiel:  $(4f)^6 \leftrightarrow (4f)^7$  Valenzfluktuation am  $^{151}\text{Eu}$



$(4f)^6 \leftrightarrow (4f)^7$  vegyertele-fluktuačia a  $^{151}\text{Eu}$ -n.

Abb. 4.17:

Isomerieverschiebung von  $^{151}\text{Eu}$  in  $\text{EuCu}_2\text{Si}_2$  gegenüber  $\text{Eu}_2\text{O}_3$ . Zum Vergleich ist im oberen Teil die Isomerieverschiebung von  $\text{Eu}^{2+}$  in  $\text{EuAg}_2\text{Si}_2$  und im unteren Teil  $\text{Eu}^{3+}$  in  $\text{EuFe}_2\text{Si}_2$  dargestellt (BAU 73)

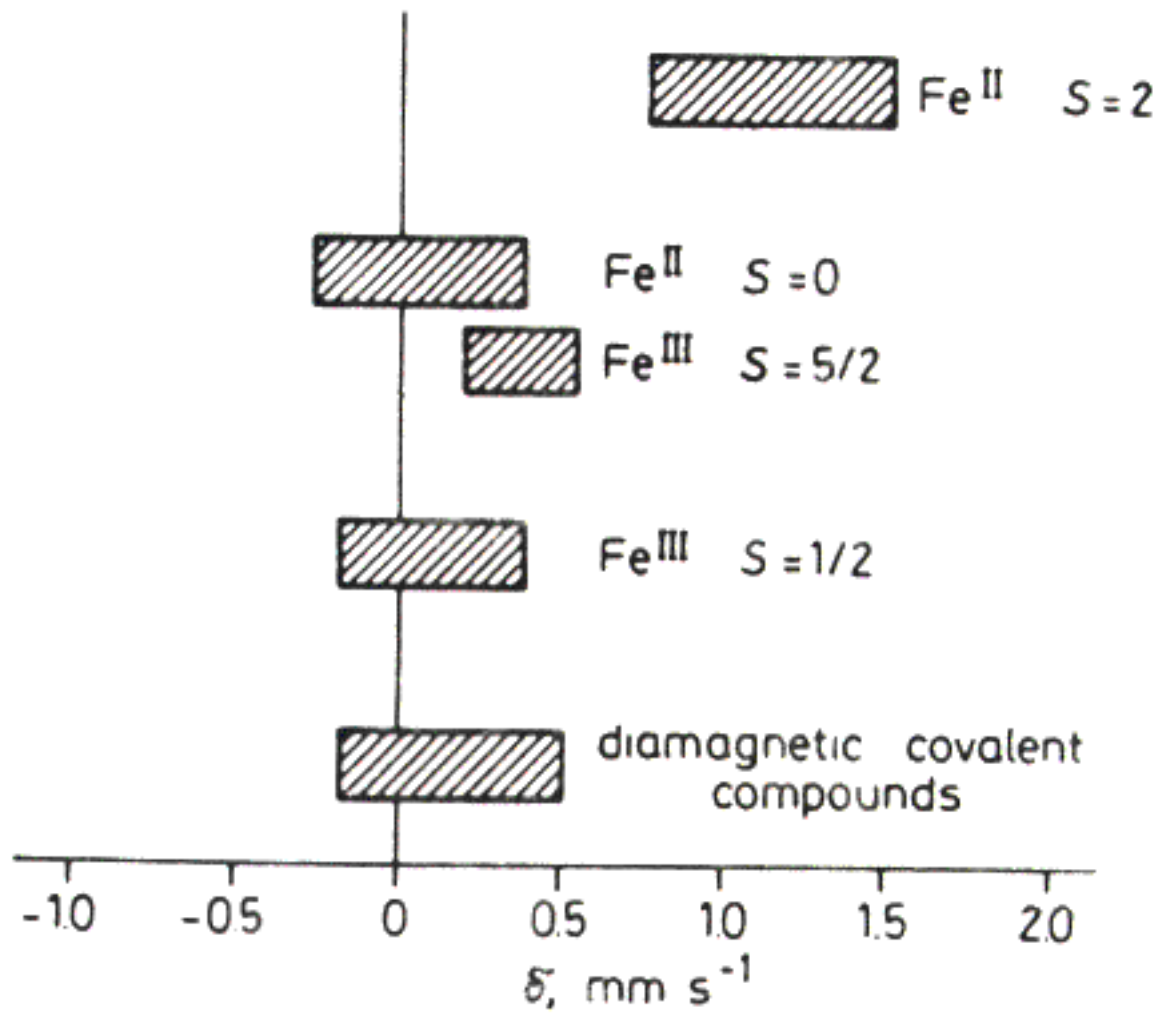


Fig. 1.5. Typical isomer shifts of iron compounds

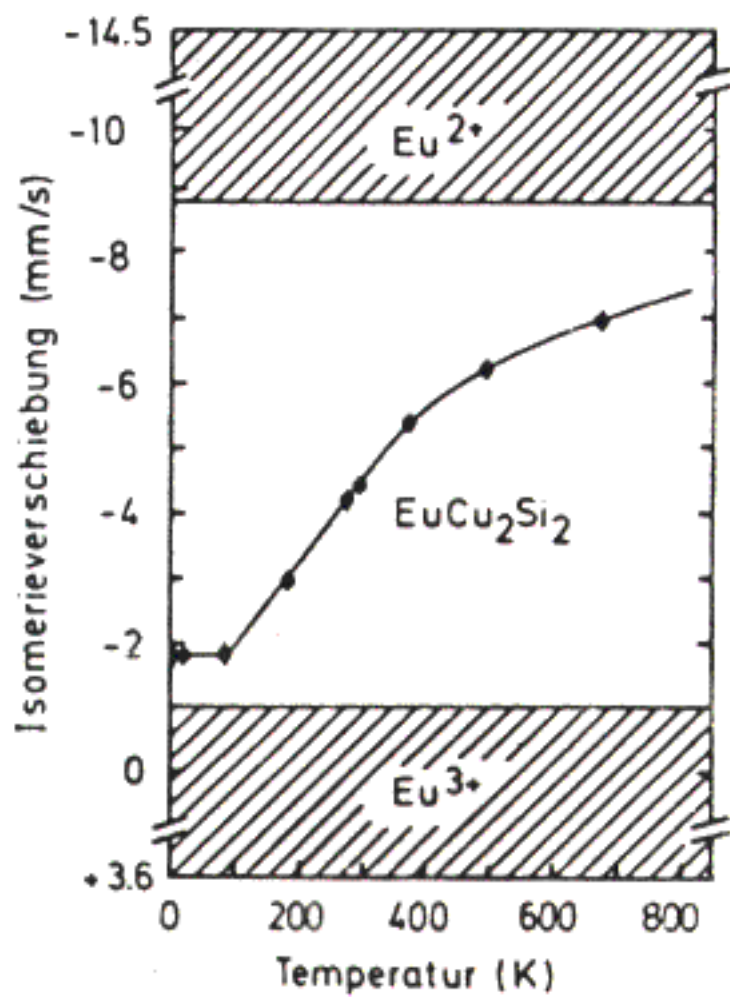


Abb. 4.18:

Isomerieverschiebung von  $^{151}\text{Eu}$  in  $\text{EuCu}_2\text{Si}_2$  gegenüber  $\text{Eu}_2\text{O}_3$  als Funktion der Temperatur. Zum Vergleich ist der experimentell gefundene Bereich von Isomerieverschiebungen in  $\text{Eu}^{2+}$  und  $\text{Eu}^{3+}$  Verbindungen angegeben (BAU 73)

## Kvadrupólus-felhasadás

é. ► fia π [Aaifi+i-mif]

$$\hat{H}_Q = \frac{1}{5\epsilon_0} \sum_{m=-2}^2 (-1)^m \hat{T}_{2m} U_{2,-m} = \frac{e}{4} \sum_{m=-2}^2 (-1)^m \hat{Q}_{2m} V_{2,-m}$$

$$\langle IM' | \hat{Q}_{2m} | IM'' \rangle = (-1)^{I-M'} \begin{pmatrix} I & 2 & I \\ -M' & m & M'' \end{pmatrix} \langle II | Q_2 | II \rangle$$

$$Q := \langle II | \hat{Q}_{20} | II \rangle = \begin{pmatrix} I & 2 & I \\ -I & 0 & I \end{pmatrix} \langle II | Q_2 | II \rangle$$

$$\langle IM' | \hat{Q}_{2m} | IM'' \rangle = (-1)^{I-M'} \frac{\begin{pmatrix} I & 2 & I \\ -M' & m & M'' \end{pmatrix}}{\begin{pmatrix} I & 2 & I \\ -I & 0 & I \end{pmatrix}} Q$$

A 3j-zimbólumoktól is meg lehet szabadulni, ha ekvivalens operátorokat vezetünk be:

$$\hat{P}_{20} := \frac{1}{2} (3I_z^2 - I^2)$$

$$\hat{P}_{2\pm 1} := \mp \sqrt{\frac{3}{8}} (\hat{I}_z \hat{I}_\pm + \hat{I}_\pm \hat{I}_z)$$

$$\hat{P}_{2\pm 2} := \sqrt{\frac{3}{8}} \hat{I}_\pm^2$$

$\hat{P}_{2m}$  másodrendű  
sferikus tensor-operátor

$$\langle IM' | \hat{P}_{2m} | IM'' \rangle = (-1)^{I-M'} \begin{pmatrix} I & 2 & I \\ -M' & m & M'' \end{pmatrix} \langle II | p_2 | II \rangle$$

$$p := \langle II | \hat{P}_{20} | II \rangle = \begin{pmatrix} I & 2 & I \\ -I & 0 & I \end{pmatrix} \langle II | p_2 | II \rangle$$

$$\langle IM' | \hat{P}_{2m} | IM'' \rangle = (-1)^{I-M'} \frac{\begin{pmatrix} I & 2 & I \\ -M' & m & M'' \end{pmatrix}}{\begin{pmatrix} I & 2 & I \\ -I & 0 & I \end{pmatrix}} p$$

$$\downarrow \frac{1}{2} (3I^2 - I(I+1))$$